



مدل‌های تحلیل پوششی داده‌های بدترین عملکرد برای اندازه‌گیری کارآیی فازی

حسین عزیزی (نویسنده مسؤول)

دانشگاه آزاد اسلامی، واحد پارس آباد مغان، پارس آباد مغان، ایران

Email: hazizi@iaupmogan.ac.ir

رسول جاحد

دانشگاه آزاد اسلامی، واحد گرمی، عضو هیات علمی، گرمی، ایران

لیلا فرخی

دانشگاه آزاد اسلامی، واحد گرمی، عضو هیات علمی، گرمی، ایران

تاریخ دریافت: ۹۱/۶/۱۸ * تاریخ پذیرش: ۹۱/۶/۲۶

چکیده

تحلیل پوششی داده‌ها (DEA) در شکل کلاسیک خود که مبتنی بر مفهوم مرز تولید کارآ است، بهترین نمره‌ی کارآیی ممکن را تعیین می‌کند که می‌توان آن را به هر یک از اعضای مجموعه‌ای از واحدهای تصمیم‌گیری (DMU) اختصاص داد. DMU بر اساس این نمرات به عنوان کارآی خوشبینانه یا غیرکارآی خوشبینانه تقسیم‌بندی می‌شوند، و DMU کارآی خوشبینانه، مرز کارآیی را مشخص می‌کنند. DEA کلاسیک را می‌توان برای شناسایی واحدهای دارای عملکرد خوب (کارآ) در مطلوب‌ترین سنتروی استفاده کرد. به منظور شناسایی واحدهای دارای عملکرد بد، مانند بنقاهه‌های ورشکسته در نامطلوب‌ترین سنتروی (بدترین حالت)، رویکرد مشابهی به نام تحلیل بدترین کارآیی وجود دارد، که از مرز تولید ناکارآ برای تعیین بدترین نمره‌ی کارآیی نسبی ممکن که می‌توان به هر DMU اختصاص داد، استفاده می‌کند. DMU واقع شده بر مرز تولید ناکارآ به عنوان ناکارآی بدینانه تعیین می‌شوند، و آنهایی که روی مرز تولید کارآ و تولید ناکارآ نیستند، به عنوان نامعین DEA اعلام می‌شوند.

DEA نیازمند آن است که داده‌های ورودی‌ها و خروجی‌ها به طور دقیق معلوم باشند. ولی در کاربردهای واقعی همیشه چنین نیست. لیکن مقادیر مشاهده شده‌ی ورودی‌ها و خروجی‌ها در مسایل دنیای واقعی گاه فازی هستند. بسیاری از پژوهشگران روش‌های فازی مختلفی را برای کار با داده‌های فازی در DEA پیشنهاد کرده‌اند. این مقاله دو مدل فازی جدید ارائه می‌کند که بر اساس حساب فازی برای کار با فازی بودن داده‌های ورودی و خروجی در DEA ایجاد شده‌اند. مدل‌های DEA فازی جدید به صورت مدل‌های برنامه‌ریزی خطی فرمول‌بندی می‌شوند و می‌توان آنها را برای تعیین کارآیی فازی گروهی از DMU مورد استفاده قرار داد. مدل‌های DEA فازی مرز بدترین عملکرد پیشنهاد شده در این مقاله، دارای «بدترین عملکرد» را که مرز بدترین عملکرد (مرز ناکارآیی) را تشکیل می‌دهند، به صورت دقیق شناسایی می‌کنند. این مسئله به خصوص برای ارزیابی ریسک اعتبار مفید واقع می‌شود، ولی در هر کاربرد دیگری نیز می‌تواند سودمند باشد، زیرا واحدهایی که بدترین عملکرد را دارند، غالباً در همان جایی قرار دارند که بیشترین احتمال بهبود در آنجا وجود دارد. برای نشان دادن کاربرد رویکرد جدید، یک مثال ارائه خواهد شد.

واژه‌های کلیدی: تحلیل پوششی داده‌ها، داده‌های ورودی فازی و خروجی فازی، کارآیی فازی، مرز بدترین عملکرد، حساب فازی.

۱- مقدمه

مدل‌های سنتی تحلیل پوششی داده‌ها (DEA) از قبیل مدل‌های CCR (Charnes, Cooper, & Rhodes, 1978) و BCC (Banker, Charnes, & Cooper, 1984)، نیازمند داده‌های ورودی و خروجی قطعی هستند. اما در موقعیت‌های دنیای واقعی داده‌های ورودی و خروجی قطعی ممکن است همیشه در دسترس نباشد، به مخصوص زمانی که گروهی از واحدهای تصمیم‌گیری (DMU)^۱ حاوی داده‌های گمشده، داده‌های قضاوتی، و یا داده‌های پیش‌بینی هستند. به بیان کلی، اطلاعات نامعین و یا داده‌های غیر دقیق را می‌توان با اعداد فازی مشخص کرد که به عنوان یک حالت خاص شامل اعداد بازه‌ای نیز هستند. بنابراین، چگونگی ارزیابی کارآیی گروهی از DMU‌ها با داده‌های ورودی و خروجی فازی مسأله‌ای است که شایان مطالعه است.

تلash‌های متعددی برای کار با داده‌های ورودی و خروجی فازی در DEA انجام شده است. به عنوان مثال، سنگوپتا یک رویکرد برنامه‌ریزی ریاضی فازی را معرفی کرد که در آن فازی بودن از طریق تحمل سطوح تحمل بر تابع هدف و نیز بر موارد نقض قیود، در مدل DEA منظور می‌شد (Sengupta, 1992). تریانتیس و زیرو یک رویکرد برنامه‌ریزی ریاضی را پیشنهاد کردند که در آن داده‌های فازی ورودی و خروجی از طریق مقادیر تابع عضویت به داده‌های قطعی تبدیل می‌شدند (Triantis & Girod, 1998). نمرات کارآیی برای مقادیر مختلف تابع عضویت ارزیابی شده سپس متوسط‌گیری می‌شدند. گوئو و تاناکا یک مدل CCR فازی را پیشنهاد کردند که در آن قیود فازی شامل معادله‌ها و نامعادله‌های فازی بر اساس یک سطح امکان از پیش تعیین شده و با استفاده از قانون مقایسه برای اعداد فازی به قیود قطعی تبدیل می‌شدند (Guo & Tanaka, 2001). León, Liern, Ruiz, & sirvent, 2003 لئون، لیرن، روئیز، و سیرونت یک مدل BCC فازی را بر اساس همان ایده معرفی کردند (Lertworasirikul, Fang, Joines, & Nuttle, 2003a). لرتوراسیریکول، فنگ، جوینز، و ناتل یک رویکرد امکانی را پیشنهاد کردند که عدم قطعیت در اهداف فازی و قیود فازی را با استفاده از اندازه‌های امکان بررسی می‌کند. این رویکرد یک مدل DEA فازی را به یک مدل DEA امکان معین تبدیل می‌کند. در حالت خاصی که داده‌های فازی به صورت اعداد فازی ذوزنقه‌ای هستند، مدل DEA امکانی تبدیل به یک مدل برنامه‌ریزی خطی (LP)^۲ می‌شود. آنها (لرتوراسیریکول، فنگ، جوینز و ناتل) یک رویکرد باورپذیری را نیز به عنوان راه دیگری برای حل مدل DEA فازی پیشنهاد کردند (Lertworasirikul, Fang, Joines, & Nuttle, 2003a). رویکرد باورپذیری مدل DEA فازی را به یک مدل برنامه‌ریزی باورپذیری معین تبدیل می‌کند که در آن متغیرهای فازی با اعتبار مورد انتظار بر اساس اندازه‌های باورپذیری جایگزین شده‌اند. اعتبارهای مورد انتظار متغیرهای فازی با استفاده از اندازه‌های باورپذیری به دست آمده‌اند، که متوسط اندازه‌های امکان و ضرورت هستند. رویکردهای امکان و باورپذیری توسط همان مؤلفان به مدل BCC فازی نیز بسط داده شدند (Lertworasirikul, Feng, Nuttle, & Joines, 2003). وو، یانگ، و لیانگ مدل DEA امکان را برای تحلیل کارآیی شعب بانک منطقه‌ای در کانادا استفاده کردند (Wu, Yang, & Liang, 2006). گارسیا، شیرو، و ملو از مدل DEA امکان برای تحلیل اثرات و حالت نارسایی استفاده کردند و یک رویکرد DEA فازی را برای تعیین شاخص‌های رتبه‌بندی در میان حالت‌های نارسایی ارائه کردند (Garcia, Schirru, & Melo, 2005).

کائو و لیو داده‌های ورودی و خروجی فازی را با استفاده از مجموعه‌های سطح α و اصل بسط عسکرزاده به بازه تبدیل کردند و خانواده‌ای از مدل‌های DEA قطعی را برای بازه‌ها ایجاد کردند (Kao & Liu, 2000b, 2003, 2005). کائو و لیو و چوانگ بر اساس مدل‌های قطعی خود برای مجموعه‌های فازی سطح α ، مفهوم ناجیهی اطمینان (AR)^۳ را در نظر گرفتند، و یک مدل DEA فازی/AR ایجاد کردند که به ترتیب برای انتخاب سیستم‌های تولیدی انعطاف‌پذیر و سنجش کتابخانه‌های دانشگاهی مورد استفاده قرار گرفت (Liu, 2008; Liu & Chuang, 2009). رویکرد مجموعه‌ی سطح α توسط ساعتی، معماریانی، و

¹Data Envelopment Analysis (DEA)

²Decision-Making Units (DMUs)

³Linear Programming (LP)

⁴Assurance Region (AR)

جهانشاه لو مورد استفاده قرار گرفت و آنها مدل CCR فازی را به عنوان یک مسأله‌ی برنامه‌ریزی احتمالاتی تعریف کردند و آن را با استفاده از مجموعه‌ی سطح α ، تبدیل به یک برنامه‌ریزی بازه‌ای کردند که می‌شد آن را با استفاده از جایگزین متغیرها به عنوان یک مسئله‌ی LP قطعی حل کرد (Saati, Menariani, & Jahanshahloo, 2002). این مدل برای هر DMU برای هر مجموعه‌ی سطح α داده شده، یک نمره‌ی کارآبی قطعی ایجاد می‌کند. این رویکرد در ساعتی و معماریانی بیشتر بسط داده شد، تا تمام DMU‌ها را بتوان با استفاده از مجموعه‌ی مشترکی از وزن‌ها تحت یک مجموعه‌ی سطح α داده شده ارزیابی کرد (Saati & Memariani, 2005). انتانی، مائدا، و تاناکا؛ وانگ، گریتبنکس، و یانگ داده‌های ورودی و خروجی فازی را نیز با استفاده از مجموعه‌های سطح α به بازه تبدیل کردند، ولی دو مدل DEA بازه‌ای متفاوت را پیشنهاد کردند (Entani, Maeda, & Tanaka, 2002; Wang, Greatbanks, & Yang, 2005) در این مدل، تصمیم گیرنده باید یک سطح عملیات حساب فازی و مقایسه‌ی فازی بین اعداد فازی پیشنهاد کرد (Dia, 2004). در این مدل، تصمیم گیرنده باید یک سطح انتظار فازی و یک سطح ایمنی α را تعیین کند، تا مدل DEA فازی بتواند از طریق مقایسه‌ی مجموعه‌های سطح α در سطح α تعیین شده به یک مدل DEA قطعی تبدیل شود.

تریانتیس یک رویکرد DEA فازی را برای اندازه‌های محاسبه‌ی کارآبی فنی غیرشعاعی فازی پیشنهاد کرد و رویکرد را برای یک فرآیند تولید لایی قبل از چاپ روزنامه به کار برد (Triantis, 2003). سلیمانی-دامنه، جهانشاهلو، و عباس‌بندی برخی معایب محاسباتی و نظری مدل‌های DEA فازی ابداع شده در کائو و لیو؛ و لئون و همکاران؛ و لرتوراسیریکول و همکاران را بر شمردند، و یک مدل DEA فازی برای تولید کارآبی‌های قطعی برای DMU با داده‌های ورودی و خروجی فازی ایجاد کردند Soleimani-damaneh, Jahanshahloo, & Abbasbandy, 2006; Kao & Liu, 2000a; León et al.,) (2003). جهانشاهلو، سلیمانی-دامنه، و نصرآبادی اندازه‌ی مبتنى بر اسلک کارآبی در DEA را به موقعیت فازی گسترش دادند و یک مدل DEA غیرخطی دو هدفی برای DMU‌های دارای داده‌های ورودی فازی و خروجی فازی ایجاد کردند (Jahanshahloo, Soleimani-damaneh, & Nasrabadi, 2004).

از بررسی مقالات فوق، معلوم می‌شود که مدل‌های DEA فازی موجود یا ناشی از فازی‌زدایی^۵ مستقیم مدل‌های داده‌ای قطعی هستند، و یا بر گرفته از مدل‌های DEA بازه‌ای هستند. در نوع اول به این واقیت توجه نمی‌شود که یک برنامه‌ریزی کسری فازی را نمی‌توان به روش سنتی که برای بررسی کسری قطعی عمل می‌شود، به یک مدل LP تبدیل کرده، مثلاً $\sum_{i=1}^m V_i \tilde{X}_{ij} / \sum_{r=1}^s U_r \tilde{Y}_{rj}$ را نمی‌توان به صورت $\sum_{r=1}^s U_r \tilde{Y}_{rj} = \tilde{1}$ با تعیین $\tilde{1}$ ساده کرد، مگر آنکه فرض شود که $\tilde{1}$ یک عدد قطعی است؛ و روش دوم نیازمند حل یک رشتۀ مدل‌های LP مبتنی بر مجموعه‌های سطح α مختلف است. لذا برای به دست آوردن کارآبی‌های فازی DMU‌ها، تلاش محاسباتی زیادی مورد نیاز است. اخیراً، وانگ، لئو، و لیانگ Wang, Luo, (2009) مدل‌های DEA فازی را برای مواجهه با داده‌های ورودی و خروجی فازی بر اساس حساب فازی ارائه داده‌اند () & Liang,. مدل‌های DEA فازی به صورت مدل‌های LP فرمول‌بندی شده‌اند و می‌توان آنها را برای تعیین کارآبی فازی گروهی از DMU‌ها مورد استفاده قرار داد. در همه‌ی این مقالات، کارآبی نسبت به مز تولید کارآ اندازه‌گیری می‌شود. هدف از این مقاله، بسط رویکرد تحلیل بدترین کارآبی نسبی در ادامه‌ی مقاله‌ی عزیزی و گنجه اجیرلو برای داده‌های فازی است (Azizi & Ganjeh Ajirlu, 2011). ما در این مقاله دو مدل DEA فازی جدید را پیشنهاد می‌کنیم، که از نظرگاه حساب فازی ساخته شده‌اند. مدل‌های DEA فازی جدید به صورت مدل‌های LP بدون نیاز به هر گونه فرضیات و تلاش محاسباتی زیاد فرمول‌بندی شده‌اند. رویکرد پیشنهادی فرمول ساده‌ای را برای تعیین مجموعه‌ای از نامطلوب‌ترین وزن‌ها برای هر DMU ارائه می‌کند. یک مثال عددی برای توضیح کاربردهای روش پیشنهادی مورد استفاده قرار خواهد گرفت.

⁵ Defuzzification

۲- مواد و روش‌ها

در این قسمت مدل **DEA** برای اندازه‌گیری بدترین کارآیی نسبی **DMU** معرفی شده است. تعداد n واحد را در نظر بگیرید که هر کدام از m ورودی برای تولید S خروجی استفاده می‌کنند. اینها را با نماد $(X_j, Y_j) \quad j=1, \dots, n$ نشان می‌دهیم. فرض می‌کنیم که $\bar{0}$ در نمونه نسبت به مجموعه‌ای که اصطلاحاً M نامیده می‌شود، اندازه‌گیری می‌شود یعنی $\hat{T} = \{(X, Y) \mid X \in M\}$. بدترین کارآیی نسبی یا کارآیی بدینانه هر DMU در نمونه نسبت به مجموعه‌ای امکان تولید ناکارآ نامیده می‌شود، اندازه‌گیری می‌شود یعنی $\hat{T} = \{(X, Y) \mid X \in M\}$. که این مجموعه به طور تجربی از مشاهدات با در نظر گرفتن چند فرض ساخته می‌شود (Parkan & Wang, 2000). خصوصاً اگر از فناوری کلاسیک بازده به مقیاس ثابت استفاده شود، آنگاه مجموعه امکان تولید ناکارآ به صورت زیر تعریف می‌شود : (Azizi & Ganjeh Ajirlu, 2011; Liu & Chen, 2009)

$$\hat{T} = \left\{ (X, Y) \mid \sum_{j=1}^n \lambda_j X_j \geq X, \sum_{j=1}^n \lambda_j Y_j \leq Y, \lambda_j \geq 0, j=1, \dots, n \right\} \quad (1)$$

سنجهش کارآیی هر DMU عموماً در نتیجه‌ی مقایسه‌ی آن با یک نقطه‌ی تصویر غالب روی مرز مجموعه‌ی امکان تولید ناکارآ به دست می‌آید. یک مدل **DEA** بدینانه با ماهیت ورودی که بازده به مقیاس ثابت داشته باشد، به صورت زیر قابل بیان است (Azizi & Ganjeh Ajirlu, 2011; Liu & Chen, 2009; Parkan & Wang, 2000)

$$\begin{aligned} \min \quad \theta_0 &= \frac{\sum_{r=1}^s u_r y_{r0}}{\sum_{i=1}^m v_i x_{i0}} \\ \text{s.t.} \quad \theta_j &= \frac{\sum_{r=1}^s u_r y_{rj}}{\sum_{i=1}^m v_i x_{ij}} \geq 1, \quad j=1, \dots, n, \\ u_r, v_i &\geq 0, \quad r=1, \dots, s, \quad i=1, \dots, m, \end{aligned} \quad (2)$$

با اعمال تبدیل چارنز و کوپر، مدل (2) را می‌توان به مسئله‌ی LP زیر تبدیل کرد (Charnes & Cooper, 1962)

$$\begin{aligned} \min \quad \theta_0 &= \sum_{r=1}^s u_r y_{r0} \\ \text{s.t.} \quad \sum_{r=1}^s u_r y_{rj} - \sum_{i=1}^m v_i x_{ij} &\geq 0, \quad j=1, \dots, n, \\ \sum_{i=1}^m v_i x_{i0} &= 1, \\ u_r, v_i &\geq 0, \quad r=1, \dots, s, \quad i=1, \dots, m \end{aligned} \quad (3)$$

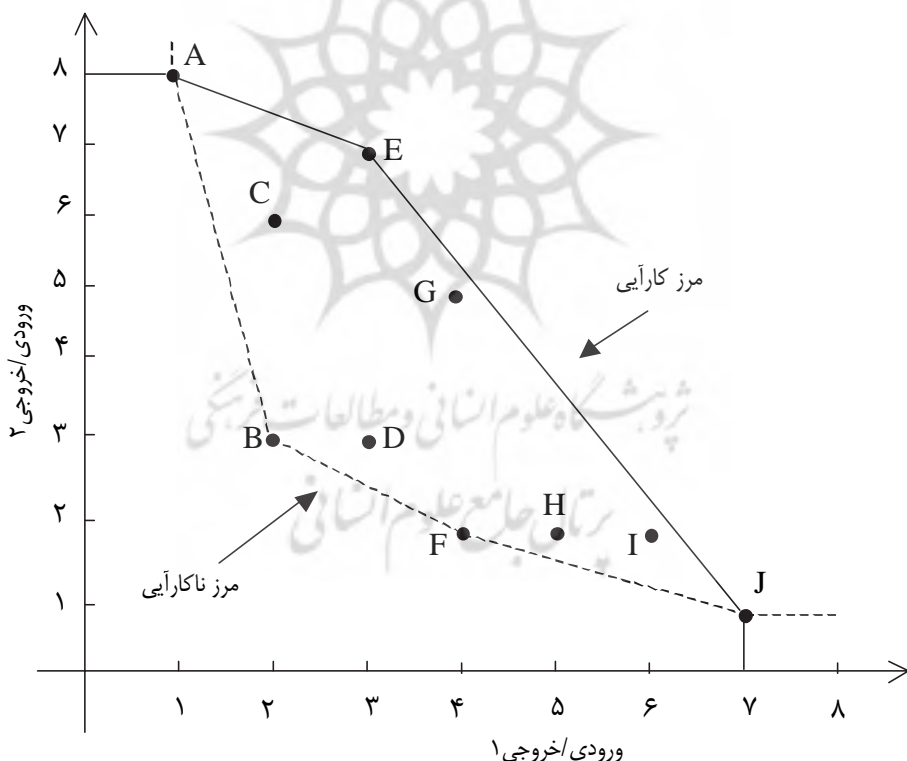
در صورتی که مجموعه‌ای از وزن‌های مثبت وجود داشته باشد که سبب شود θ_0^* باشد، آنگاه گفته می‌شود که DMU ناکارآی **DEA** یا ناکارآی بدینانه است؛ در غیر این صورت، گفته می‌شود که غیرناکارآی بدینانه یا غیرناکارآی **DEA** است. تمام واحدهای ناکارآی بدینانه یک مرز تولید ناکارآ را تعیین می‌کنند. مدل‌های **DEA** بدینانه (2) و (3) در جستجوی مجموعه‌ای از نامطلوب‌ترین وزن‌ها برای هر **DMU** هستند.

برای نشان دادن تقاضوت بین مرز کارآیی (مرز بهترین عملکرد) و مرز ناکارآیی (مرز بهترین عملکرد)، از مثالی با داده‌های یک ورودی و دو خروجی که در جدول (1) نشان داده شده است، استفاده می‌کنیم. همه‌ی ورودی‌ها برای سادگی به ۱ نرمال‌سازی شده‌اند. مرزهای کارآیی و ناکارآیی این مثال در شکل ۱ نشان داده شده‌اند. به طوری که این شکل نشان می‌دهد، ۳ تا از **DMU** روی مرز کارآیی (خط ممتد) هستند که ما آنها را کارآی **DEA** یا کارآی خوشبینانه می‌نامیم و مابقی **DMU** را نسبت به مرز کارآیی، غیرکارآی **DEA** یا غیرکارآی خوشبینانه می‌نامیم. همچنین، ۴ مورد از **DMU**‌ها روی مرز ناکارآیی (خط مقطع) واقع شده‌اند که ما آنها را ناکارآی **DEA** یا ناکارآی بدینانه می‌نامیم و مابقی **DMU** را نسبت به مرز ناکارآیی، غیرناکارآی

DEA یا غیرناتکارآی بدینانه می‌نامیم. که در اینجا واحدهای کارآی DEA و ناتکارآی DEA همپوشانی یعنی واحدهای مشترک نیز دارند.

جدول شماره‌ی (۱): داده‌ها برای ده DMU با یک ورودی و دو خروجی.

DMU	ورودی	خروجی ۱	خروجی ۲
A	۱	۸	۱
B	۱	۳	۲
C	۱	۶	۲
D	۱	۳	۳
E	۱	۷	۳
F	۱	۲	۴
G	۱	۵	۴
H	۱	۲	۵
I	۱	۲	۶
J	۱	۱	۷



شکل شماره‌ی (۱): مرزهای کارآبی و ناتکارآبی برای ده DMU

در این قسمت مدل‌های **DEA** فازی مبتنی بر حساب فازی ارائه می‌گردد. یک عدد فازی یک مجموعه‌ی فازی محدب است که با بازه‌ی معینی از اعداد حقیقی مشخص می‌شود که هر کدام درجه‌ی عضویتی بین صفر و یک دارند. شایع‌ترین اعداد فازی استفاده شده اعداد فازی مثلثی و ذوزنقه‌ای هستند که توابع عضویت آنها به صورت زیر تعریف می‌شوند:

$$\mu_{\tilde{A}}(x) = \begin{cases} (x-a)/(b-a) & a \leq x \leq b \\ (d-x)/(d-b) & b \leq x \leq d \\ 0 & \text{سایر موارد} \end{cases} \quad (4)$$

$$\mu_{\tilde{A}_2}(x) = \begin{cases} (x-a)/(b-a) & a \leq x \leq b \\ 1 & b \leq x \leq c \\ (d-x)/(d-c) & c \leq x \leq d \\ 0 & \text{سایر موارد} \end{cases} \quad (5)$$

برای اختصار، اعداد فازی مثلثی و ذوزنقه‌ای را غالباً به صورت (a, b, c, d) و (a, b, d) نشان می‌دهند.

فرض کنید $(\tilde{B}) = (b_L, b_M, b_U)$ و $(\tilde{A}) = (a_L, a_M, a_U)$ دو عدد فازی مثلثی مثبت باشند. عمل‌های حساب فازی اساسی روی این اعداد فازی به صورت زیر تعریف می‌شوند:

$$\tilde{A} + \tilde{B} = (a_L + b_L, a_M + b_M, a_U + b_U) \quad \text{جمع:}$$

$$\tilde{A} - \tilde{B} = (a_L - b_U, a_M - b_M, a_U - b_L) \quad \text{تفريق:}$$

$$\tilde{A} \times \tilde{B} \approx (a_L b_L, a_M b_M, a_U b_U) \quad \text{ضرب:}$$

$$\tilde{A} / \tilde{B} \approx \left(\frac{a_L}{b_U}, \frac{a_M}{b_M}, \frac{a_U}{b_L} \right) \quad \text{تقسيم:}$$

فرض کنید x_{ij} و y_{rj} ($i=1, \dots, m$) و y_r ($j=1, \dots, n$) **DMU** ($r=1, \dots, s$) داده‌های ورودی و خروجی باشند. بدون از دست رفتن عمومیت موضوع، فرض می‌شود که همه‌ی داده‌های ورودی و خروجی x_{ij} و y_{rj} نامعین هستند و با اعداد فازی مثلثی $(x_{ij}^L, x_{ij}^M, x_{ij}^U)$ و $(y_{rj}^L, y_{rj}^M, y_{rj}^U)$ مشخص می‌شوند، که در اینجا داریم $0 < x_{ij}^L < x_{ij}^U$ و $0 < y_{rj}^L < y_{rj}^U$ برای $j=1, \dots, n$, $r=1, \dots, s$, $i=1, \dots, m$. داده‌های ورودی و خروجی قطعی را می‌توان حالت خاصی از داده‌های ورودی و خروجی فازی \tilde{x}_{ij} و \tilde{y}_{rj} با $\tilde{x}_{ij} = x_{ij}^L = x_{ij}^M = x_{ij}^U$ و $\tilde{y}_{rj} = y_{rj}^L = y_{rj}^M = y_{rj}^U$ دانست. کارآیی j **DMU** به صورت زیر تعریف می‌شود:

$$\tilde{\theta}_j = \frac{\sum_{r=1}^s u_r \tilde{y}_{rj}}{\sum_{i=1}^m v_i \tilde{x}_{ij}} \quad (6)$$

که یک عدد فازی است که به آن کارآیی فازی می‌گوییم، و در اینجا u_r ($r=1, \dots, s$) و v_i ($i=1, \dots, m$) به ترتیب وزن‌های اختصاص داده شده به خروجی‌ها و ورودی‌ها هستند. بر اساس حساب فازی، کارآیی فازی تعریف شده در معادله‌ی (6) را می‌توان به صورت زیر بیان کرد:

$$\begin{aligned} \tilde{\theta}_j &= \frac{\sum_{r=1}^s u_r [y_{rj}^L, y_{rj}^M, y_{rj}^U]}{\sum_{i=1}^m v_i [x_{ij}^L, x_{ij}^M, x_{ij}^U]} = \frac{[\sum_{r=1}^s u_r y_{rj}^L, \sum_{r=1}^s u_r y_{rj}^M, \sum_{r=1}^s u_r y_{rj}^U]}{[\sum_{i=1}^m v_i x_{ij}^L, \sum_{i=1}^m v_i x_{ij}^M, \sum_{i=1}^m v_i x_{ij}^U]} \\ &\approx \left[\frac{\sum_{r=1}^s u_r y_{rj}^L}{\sum_{i=1}^m v_i x_{ij}^U}, \frac{\sum_{r=1}^s u_r y_{rj}^M}{\sum_{i=1}^m v_i x_{ij}^M}, \frac{\sum_{r=1}^s u_r y_{rj}^U}{\sum_{i=1}^m v_i x_{ij}^L} \right] \end{aligned} \quad (7)$$

برای اندازه‌گیری کارآیی فازی بدینانه‌ی j **DMU** نسبت به **DMU** دیگر، می‌توانیم $\tilde{\theta}_j \geq 1$ یا $\tilde{\theta}_j \geq \tilde{1}$ برای همه‌ی **DMU** $j=1, \dots, n$ محدود کنیم. بر اساس این محدودیت‌ها، دو مدل **DEA** فازی زیر برای اندازه‌گیری بدترین عملکرد هر **DMU**

ساخته می‌شوند:

$$\begin{aligned} \min \quad & \tilde{\theta}_o \approx [\theta_o^L, \theta_o^M, \theta_o^U] = \left[\frac{\sum_{r=1}^s u_r y_{ro}^L}{\sum_{i=1}^m v_i x_{io}^U}, \frac{\sum_{r=1}^s u_r y_{ro}^M}{\sum_{i=1}^m v_i x_{io}^M}, \frac{\sum_{r=1}^s u_r y_{ro}^U}{\sum_{i=1}^m v_i x_{io}^L} \right] \\ \text{s.t.} \quad & \tilde{\theta}_j \approx [\theta_j^L, \theta_j^M, \theta_j^U] = \left[\frac{\sum_{r=1}^s u_r y_{rj}^L}{\sum_{i=1}^m v_i x_{ij}^U}, \frac{\sum_{r=1}^s u_r y_{rj}^M}{\sum_{i=1}^m v_i x_{ij}^M}, \frac{\sum_{r=1}^s u_r y_{rj}^U}{\sum_{i=1}^m v_i x_{ij}^L} \right] \geq 1, \quad j = 1, \dots, n, \quad (\lambda) \\ & u_r, v_i \geq 0, \quad i = 1, \dots, m, \quad r = 1, \dots, s \end{aligned}$$

و یا

$$\begin{aligned} \min \quad & \tilde{\theta}_o \approx [\theta_o^L, \theta_o^M, \theta_o^U] = \left[\frac{\sum_{r=1}^s u_r y_{ro}^L}{\sum_{i=1}^m v_i x_{io}^U}, \frac{\sum_{r=1}^s u_r y_{ro}^M}{\sum_{i=1}^m v_i x_{io}^M}, \frac{\sum_{r=1}^s u_r y_{ro}^U}{\sum_{i=1}^m v_i x_{io}^L} \right] \\ \text{s.t.} \quad & \tilde{\theta}_j \approx [\theta_j^L, \theta_j^M, \theta_j^U] = \left[\frac{\sum_{r=1}^s u_r y_{rj}^L}{\sum_{i=1}^m v_i x_{ij}^U}, \frac{\sum_{r=1}^s u_r y_{rj}^M}{\sum_{i=1}^m v_i x_{ij}^M}, \frac{\sum_{r=1}^s u_r y_{rj}^U}{\sum_{i=1}^m v_i x_{ij}^L} \right] \geq \tilde{1}, \quad j = 1, \dots, n, \quad (\eta) \\ & u_r, v_i \geq 0, \quad i = 1, \dots, m, \quad r = 1, \dots, s \end{aligned}$$

که در اینجا اندیس پایین "o" نشان‌دهنده‌ی DMU_o مورد ارزیابی است، یعنی DMU_o برای مدل (λ)، مدام که مقدار θ_j^L بیشتر یا مساوی ۱ نگه داشته شود، $1 \geq \theta_j^U \geq \theta_j^M \geq 1$ به طور خودکار تأمین خواهد شد. لذا مدل را می‌توان به صورت زیر ساده کرد:

$$\begin{aligned} \min \quad & \tilde{\theta}_o \approx [\theta_o^L, \theta_o^M, \theta_o^U] = \left[\frac{\sum_{r=1}^s u_r y_{ro}^L}{\sum_{i=1}^m v_i x_{io}^U}, \frac{\sum_{r=1}^s u_r y_{ro}^M}{\sum_{i=1}^m v_i x_{io}^M}, \frac{\sum_{r=1}^s u_r y_{ro}^U}{\sum_{i=1}^m v_i x_{io}^L} \right] \\ \text{s.t.} \quad & \theta_j^L = \frac{\sum_{r=1}^s u_r y_{rj}^L}{\sum_{i=1}^m v_i x_{ij}^U} \geq 1, \quad j = 1, \dots, n, \\ & u_r, v_i \geq 0, \quad i = 1, \dots, m, \quad r = 1, \dots, s \end{aligned} \quad (10)$$

کمترین مقادیر ممکن θ_o^L ، θ_o^M و θ_o^U را می‌توان از سه مدل برنامه‌ریزی کسری زیر به دست آورد:

$$\begin{aligned} \min \quad & \theta_o^L = \frac{\sum_{r=1}^s u_r y_{ro}^L}{\sum_{i=1}^m v_i x_{io}^U} \\ \text{s.t.} \quad & \theta_j^L = \frac{\sum_{r=1}^s u_r y_{rj}^L}{\sum_{i=1}^m v_i x_{ij}^U} \geq 1, \quad j = 1, \dots, n, \\ & u_r, v_i \geq 0, \quad i = 1, \dots, m, \quad r = 1, \dots, s \end{aligned} \quad (11)$$

$$\begin{aligned} \min \quad & \theta_o^M = \frac{\sum_{r=1}^s u_r y_{ro}^M}{\sum_{i=1}^m v_i x_{io}^M} \\ \text{s.t.} \quad & \theta_j^L = \frac{\sum_{r=1}^s u_r y_{rj}^L}{\sum_{i=1}^m v_i x_{ij}^U} \geq 1, \quad j = 1, \dots, n, \\ & u_r, v_i \geq 0, \quad i = 1, \dots, m, \quad r = 1, \dots, s \end{aligned} \quad (12)$$

$$\begin{aligned} \min \quad & \theta_o^U = \frac{\sum_{r=1}^s u_r y_{ro}^U}{\sum_{i=1}^m v_i x_{io}^U} \\ \text{s.t.} \quad & \theta_j^L = \frac{\sum_{r=1}^s u_r y_{rj}^L}{\sum_{i=1}^m v_i x_{ij}^L} \geq 1, \quad j = 1, \dots, n, \\ & u_r, v_i \geq 0, \quad i = 1, \dots, m, \quad r = 1, \dots, s \end{aligned} \quad (13)$$

که می‌توان آنها را برای حل تبدیل به سه مدل LP زیر کرد:

$$\begin{aligned} \min \quad & \theta_o^L = \sum_{r=1}^s u_r y_{ro}^L \\ \text{s.t.} \quad & \sum_{i=1}^m v_i x_{io}^L = 1, \\ & \sum_{r=1}^s u_r y_{rj}^L - \sum_{i=1}^m v_i x_{ij}^L \geq 0, \quad j = 1, \dots, n, \\ & u_r, v_i \geq 0, \quad i = 1, \dots, m, \quad r = 1, \dots, s \end{aligned} \quad (14)$$

$$\begin{aligned} \min \quad & \theta_o^M = \sum_{r=1}^s u_r y_{ro}^M \\ \text{s.t.} \quad & \sum_{i=1}^m v_i x_{io}^M = 1, \\ & \sum_{r=1}^s u_r y_{rj}^M - \sum_{i=1}^m v_i x_{ij}^M \geq 0, \quad j = 1, \dots, n, \\ & u_r, v_i \geq 0, \quad i = 1, \dots, m, \quad r = 1, \dots, s \end{aligned} \quad (15)$$

$$\begin{aligned} \min \quad & \theta_o^U = \sum_{r=1}^s u_r y_{ro}^U \\ \text{s.t.} \quad & \sum_{i=1}^m v_i x_{io}^U = 1, \\ & \sum_{r=1}^s u_r y_{rj}^U - \sum_{i=1}^s v_i x_{ij}^U \geq 0, \quad j = 1, \dots, n, \\ & u_r, v_i \geq 0, \quad i = 1, \dots, m, \quad r = 1, \dots, s \end{aligned} \quad (16)$$

مقادیر بهینه‌یتابع هدف سه مدل LP فوق، بدترین کارآیی فازی DMU_o را تشکیل می‌دهند. یعنی $\tilde{\theta}_o^* \approx (\theta_o^{L*}, \theta_o^{M*}, \theta_o^{U*})$ ، که می‌توان آن را تقریباً به صورت یک عدد فازی مثلثی دید. در رابطه با مدل (۹)، از آنجا که هیچگونه محدودیتی به طور ذهنی به نفع عدد فازی $\tilde{\theta}$ وجود ندارد، لذا کران‌های پایین و بالای آن به عنوان آزاد محسوب می‌شوند. بر اساس این دیدگاه، مدل (۹) را می‌توان به صورت زیر ساده کرد:

$$\begin{aligned} \min \quad & \tilde{\theta}_o \approx [\theta_o^L, \theta_o^M, \theta_o^U] = \left[\frac{\sum_{r=1}^s u_r y_{ro}^L}{\sum_{i=1}^m v_i x_{io}^U}, \frac{\sum_{r=1}^s u_r y_{ro}^M}{\sum_{i=1}^m v_i x_{io}^M}, \frac{\sum_{r=1}^s u_r y_{ro}^U}{\sum_{i=1}^s v_i x_{ij}^L} \right] \\ \text{s.t.} \quad & \theta_j^M = \frac{\sum_{r=1}^s u_r y_{rj}^M}{\sum_{i=1}^m v_i x_{ij}^M} \geq 1, \quad j = 1, \dots, n, \\ & u_r, v_i \geq 0, \quad i = 1, \dots, m, \quad r = 1, \dots, s \end{aligned} \quad (17)$$

از مدل‌های برنامه‌ریزی کسری زیر به ترتیب برای به دست آوردن کمترین مقادیر ممکن θ_o^U , θ_o^L , θ_o^M استفاده می‌شود:

$$\begin{aligned} \min \quad & \theta_o^L = \frac{\sum_{r=1}^s u_r y_{ro}^L}{\sum_{i=1}^m v_i x_{io}^U} \\ \text{s.t.} \quad & \theta_j^M = \frac{\sum_{r=1}^s u_r y_{rj}^M}{\sum_{i=1}^m v_i x_{ij}^M} \geq 1, \quad j = 1, \dots, n, \\ & u_r, v_i \geq 0, \quad i = 1, \dots, m, \quad r = 1, \dots, s \end{aligned} \quad (18)$$

$$\begin{aligned} \min \quad & \theta_o^M = \frac{\sum_{r=1}^s u_r y_{ro}^M}{\sum_{i=1}^m v_i x_{io}^M} \\ \text{s.t.} \quad & \theta_j^M = \frac{\sum_{r=1}^s u_r y_{rj}^M}{\sum_{i=1}^m v_i x_{ij}^M} \geq 1, \quad j = 1, \dots, n, \\ & u_r, v_i \geq 0, \quad i = 1, \dots, m, \quad r = 1, \dots, s \end{aligned} \quad (19)$$

$$\begin{aligned} \min \quad & \theta_o^U = \frac{\sum_{r=1}^s u_r y_{ro}^U}{\sum_{i=1}^m v_i x_{io}^L} \\ \text{s.t.} \quad & \theta_j^M = \frac{\sum_{r=1}^s u_r y_{rj}^M}{\sum_{i=1}^m v_i x_{ij}^M} \geq 1, \quad j = 1, \dots, n, \\ & u_r, v_i \geq 0, \quad i = 1, \dots, m, \quad r = 1, \dots, s \end{aligned} \quad (20)$$

که می‌توان آنها را برای حل تبدیل به مدل‌های LP معادل کرد:

$$\begin{aligned} \min \quad & \theta_o^L = \sum_{r=1}^s u_r y_{ro}^L \\ \text{s.t.} \quad & \sum_{i=1}^m v_i x_{io}^U = 1, \\ & \sum_{r=1}^s u_r y_{rj}^M - \sum_{i=1}^m v_i x_{ij}^M \geq 0, \quad j = 1, \dots, n, \\ & u_r, v_i \geq 0, \quad i = 1, \dots, m, \quad r = 1, \dots, s \end{aligned} \quad (21)$$

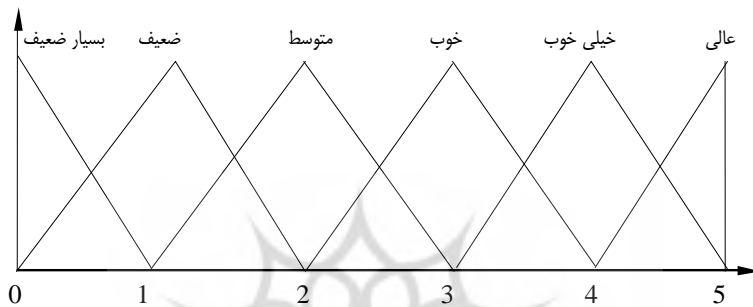
$$\begin{aligned} \min \quad & \theta_o^M = \sum_{r=1}^s u_r y_{ro}^M \\ \text{s.t.} \quad & \sum_{i=1}^m v_i x_{io}^M = 1, \\ & \sum_{r=1}^s u_r y_{rj}^M - \sum_{i=1}^m v_i x_{ij}^M \geq 0, \quad j = 1, \dots, n, \\ & u_r, v_i \geq 0, \quad i = 1, \dots, m, \quad r = 1, \dots, s \end{aligned} \quad (22)$$

$$\begin{aligned} \min \quad & \theta_o^U = \sum_{r=1}^s u_r y_{ro}^U \\ \text{s.t.} \quad & \sum_{i=1}^m v_i x_{io}^L = 1, \\ & \sum_{r=1}^s u_r y_{rj}^M - \sum_{i=1}^m v_i x_{ij}^M \geq 0, \quad j = 1, \dots, n, \\ & u_r, v_i \geq 0, \quad i = 1, \dots, m, \quad r = 1, \dots, s \end{aligned} \quad (23)$$

با حل مدل‌های (۲۱)–(۲۳) یا (۱۶)–(۲۱) برای هر DMU، می‌توانیم کارآیی‌های فازی بدینانه را برای DMU n به دست آوریم، که بر اساس آن می‌توان DEA DMU‌ها را مقایسه کرد.

در ادامه، یک مثال عددی را با استفاده از مدل‌های DEA فازی پیشنهادی بررسی می‌کنیم تا کاربرد پذیری و کارآمدی آن را نشان دهیم. تمام مدل‌ها روی یک کامپیوچر شخصی با استفاده از برنامه‌ی حل کننده‌ی LP به نام GAMS اجرا شدند.

مثال ۱: یک مسأله‌ی ارزیابی عملکرد را در چین در نظر بگیرید که در آن هشت شرکت تولیدی (DMU) باید از نظر دو ورودی و دو خروجی ارزیابی شوند. مجموعه داده‌های این تحلیل از مقاله‌ی وانگ و همکاران گرفته شده‌اند (Wang et al., 2009). این هشت شرکت تولیدی همگی نوع محصول یکسانی ولی با کیفیت‌های متفاوت را تولید می‌کنند. هم ارزش خروجی ناخالص^۶ و هم کیفیت محصول^۷ به عنوان خروجی در نظر گرفته می‌شوند. هزینه‌ی تولید^۸ و تعداد کارکنان^۹ به عنوان ورودی در نظر گرفته می‌شوند. داده‌ها درباره‌ی ارزش خروجی ناخالص و هزینه‌ی تولید به علت موجود نبودن در زمان سنجش، نامعین هستند و بنابراین، به عنوان اعداد فازی ارزیابی می‌شوند. کیفیت محصول توسط مشتریان با استفاده از اصطلاحات زبان‌شناختی فازی مانند عالی، خیلی خوب، خوب، متوسط، ضعیف، و خیلی ضعیف سنجیده می‌شود، که توابع عضویت اینها در شکل ۲ نشان داده شده است. نتایج ارزیابی مشتریان، وزن دهنده و متوسطگیری می‌شود. جدول (۲) داده‌های ورودی و خروجی را برای هشت شرکت تولیدی نشان می‌دهد.



شکل شماره‌ی (۲): مجموعه‌های فازی برای سنجش کیفیت محصول.

جدول شماره‌ی (۲): داده‌های ورودی و خروجی برای هشت شرکت تولیدی.

خرجهی‌ها	ورودی‌ها			شرکت‌ها (DMU)
	کیفیت محصول	ارزش خروجی ناخالص	تعداد کارکنان	
(۳/۱، ۴/۱، ۴/۹)	(۱۴۵۰۰، ۱۴۷۹۰، ۱۴۸۶۰)	۱۸۷۰	(۲۱۲۰، ۲۱۷۰، ۲۲۱۰)	A
(۱/۲، ۲/۱، ۳)	(۱۲۴۷۰، ۱۲۷۲۰، ۱۲۷۹۰)	۱۳۴۰	(۱۴۲۰، ۱۴۶۰، ۱۵۰۰)	B
(۳/۳، ۴/۳، ۵)	(۱۷۹۰۰، ۱۸۲۶۰، ۱۸۴۰۰)	۲۳۶۰	(۲۵۱۰، ۲۵۷۰، ۲۶۱۰)	C
(۲/۷، ۳/۷، ۴/۶)	(۱۴۹۷۰، ۱۵۲۷۰، ۱۵۴۰۰)	۲۰۲۰	(۲۳۰۰، ۲۳۵۰، ۲۴۰۰)	D
(۱، ۱/۸، ۲/۷)	(۱۳۹۸۰، ۱۴۲۶۰، ۱۴۳۳۰)	۱۵۵۰	(۱۴۸۰، ۱۵۲۰، ۱۵۶۰)	E
(۱/۶، ۲/۶، ۳/۶)	(۱۴۰۳۰، ۱۴۳۱۰، ۱۴۴۰۰)	۱۷۶۰	(۱۹۹۰، ۲۰۳۰، ۲۱۰۰)	F
(۲/۴، ۳/۴، ۴/۴)	(۱۶۵۴۰، ۱۶۸۷۰، ۱۷۰۰۰)	۱۹۸۰	(۲۲۰۰، ۲۲۶۰، ۲۳۰۰)	G
(۲/۶، ۳/۶، ۴/۶)	(۱۷۶۰۰، ۱۷۹۶۰، ۱۸۱۰۰)	۲۲۵۰	(۲۴۰۰، ۲۴۶۰، ۲۵۲۰)	H

با حل مدل‌های (۱۴)–(۱۶) و (۲۱)–(۲۳)، به ترتیب، برای هر یک از شرکت‌های تولیدی، مطابق جدول (۳)، دو کارآیی فازی برای هر شرکت تولیدی به دست می‌آید. از بخش راست جدول (۳) مشاهده می‌شود که شرکت‌های تولیدی E، D، F، و G بر روی هم یک مرز تولید ناکارآ را تعریف می‌کنند و شرکت D بدترین عملکرد را دارد. با این حال، کارآیی‌های فازی در طرف چپ جدول (۳) چندان واضح نیستند و نمی‌توان آنها را به آسانی از یکدیگر تشخیص داد. ما فکر می‌کنیم که این طبیعی است، زیرا هیچ تضمینی وجود ندارد که مدل‌های مختلف بتوانند دقیقاً رتبه‌بندی یکسانی ایجاد کنند. تنها راه برای کاهش چنین

⁶Gross output value

⁷Product quality

⁸Manufacturing cost

⁹Number of employees

ناسازگاری، کاهش فازی بودن داده‌های ورودی و خروجی است.

جدول شماره‌ی (۳): بدترین کارآبی‌های نسبی فازی هشت شرکت تولیدی.

مدل‌های (۲۱)–(۲۳)			مدل‌های (۱۴)–(۱۶)			شرکت‌ها (DMU)
کران بالا	مقدار وسط	کران پایین	کران بالا	مقدار وسط	کران پایین	
۱/۰۵۱۲	۱/۰۴۶۳	۰/۹۷۲۶	۱/۰۷۲۳	۱/۰۶۷۲	۱/۰۴۶۳	A
۱/۲۵۱۳	۱/۱۲۶۹	۰/۶۷۵۶	۱/۲۸۷۹	۱/۲۶۰۲	۱/۱۱۰۶	B
۱/۰۳۱۴	۱/۰۱۵۴	۰/۹۳۶۰	۱/۰۵۲۰	۱/۰۴۴۰	۱/۰۲۳۵	C
۱/۰۰۸۵	۱/۰۰۰۰	۰/۸۷۹۶	۱/۰۲۸۷	۱/۰۲۰۰	۱/۰۰۰۰	D
۱/۱۴۶۶	۱/۰۰۰۰	۰/۵۴۱۳	۱/۲۴۷۵	۱/۱۷۰۱	۱/۰۰۰۰	E
۱/۰۸۲۳	۱/۰۰۰۰	۰/۶۴۳۴	۱/۱۰۴۰	۱/۰۹۷۱	۱/۰۰۰۰	F
۱/۱۳۵۸	۱/۰۷۳۸	۰/۸۵۲۸	۱/۱۵۸۵	۱/۱۴۹۷	۱/۰۸۵۰	G
۱/۰۶۴۲	۱/۰۰۴۷	۰/۸۳۹۹	۱/۰۸۵۵	۱/۰۷۷۱	۱/۰۱۹۰	H

همچنین، مشاهده می‌شود که مدل‌های (۱۶)–(۲۳) کارآبی فازی باریک‌تری نسبت به مدل‌های (۲۱)–(۲۳) ایجاد می‌کنند. به زبان دیگر، کارآبی‌های فازی در طرف راست جدول (۳) فازی بودن کمتری نسبت به اعداد طرف چپ جدول (۳) دارند. این امر در جدول (۴) تأیید می‌شود که فازی بودن بر اساس طول بازه‌ی فازی اندازه‌گیری شده است.

جدول شماره‌ی (۴): فازی بودن در دو کارآبی فازی متفاوت.

کارآبی‌های فازی بر اساس مدل‌های (۲۱)–(۲۳)			کارآبی‌های فازی بر اساس مدل‌های (۱۴)–(۱۶)			شرکت‌ها (DMU)
فازی بودن	کران بالا	کران پایین	فازی بودن	کران بالا	کران پایین	
۰/۰۷۸۶	۱/۰۵۱۲	۰/۹۷۲۶	۰/۰۲۶۰	۱/۰۷۲۳	۱/۰۴۶۳	A
۰/۵۷۵۷	۱/۲۵۱۳	۰/۶۷۵۶	۰/۱۷۷۳	۱/۲۸۷۹	۱/۱۱۰۶	B
۰/۰۹۵۴	۱/۰۳۱۴	۰/۹۳۶۰	۰/۰۲۸۵	۱/۰۵۲۰	۱/۰۲۳۵	C
۰/۱۲۸۹	۱/۰۰۸۵	۰/۸۷۹۶	۰/۰۲۸۷	۱/۰۲۸۷	۱/۰۰۰۰	D
۰/۶۰۵۳	۱/۱۴۶۶	۰/۵۴۱۳	۰/۲۴۷۵	۱/۲۴۷۵	۱/۰۰۰۰	E
۰/۴۳۸۹	۱/۰۸۲۳	۰/۶۴۳۴	۰/۱۰۴۰	۱/۱۰۴۰	۱/۰۰۰۰	F
۰/۲۸۳۰	۱/۱۳۵۸	۰/۸۵۲۸	۰/۰۷۳۵	۱/۱۵۸۵	۱/۰۸۵۰	G
۰/۲۲۴۳	۱/۰۶۴۲	۰/۸۳۹۹	۰/۰۶۶۵	۱/۰۸۵۵	۱/۰۱۹۰	H

۳- نتایج و بحث

با توجه به این واقعیت که داده‌های ورودی و خروجی دقیق همیشه در کاربردهای دنیای واقعی در دسترس نیستند، لذا ما در این مقاله دو مدل DEA فازی از دیدگاه حساب فازی برای مواردی که داده‌های ورودی و خروجی فازی هستند، ایجاد کرده‌ایم. این دو مدل DEA فازی برای سهولت حل و پیاده‌سازی به معادله‌های LP خود تبدیل شدند. رویکرد DEA فازی پیشنهادی، کارآبی هر DMU را نسبت به مرز ناکارآبی اندازه‌گیری می‌کند و کارآبی به دست آمده، کارآبی فازی بدینانه یا بدترین کارآبی فازی نامیده می‌شود. زوج مدل DEA فازی پیشنهادی می‌تواند بدترین DMU را به آسانی و به درستی شناسایی کند. مدل‌های DEA فازی برای ارزیابی عملکرد شرکت‌های تولیدی در چین استفاده شدند. نشان داده شد که دو مدل DEA فازی هر دو برای داده‌های ورودی و خروجی فازی قابل استفاده هستند، ولی کارآبی‌های فازی متفاوتی ایجاد می‌کنند که یکی از آنها فازی بودن کمتری نسبت به دیگری دارد. تفاوت دیگر بین مدل‌های DEA فازی را می‌توان در تحقیقات آینده بررسی کرد. ایده‌ی استفاده از DEA بدترین عملکرد اختصاصاً برای شناسایی واحدهای دارای بدترین عملکرد مسلم‌اً برای ارزیابی اعتبار سودمند است، ولی کاربرد عمومی‌تری نیز دارد. این ایده گرینه‌ی بسیار مناسبی برای قاعده‌ی (Pareto) است، به

این شرح که اگر بتوانید ۲۰٪ پایین مجموعه‌ای از DMU را شناسایی و اصلاح کنید، معمولاً ۸۰٪ جواب را به دست خواهد آورد. در یک تحلیل استاندارد بهره‌وری، استفاده از ترکیبی از مدل‌های DEA بهترین عملکرد و بدترین عملکرد به معنای آن است که هم واحدهایی را که عملکرد خوب دارند و باید پاداش داده شوند، شناسایی کنیم، و هم بدترین واحدها را شناسایی کنیم که از این طریق، می‌توان به بیشترین میزان صرفهجویی دست یافت.

سپاسگزاری

تحقیق گزارش شده در این مقاله با کمک مالی شورای بودجه‌های پژوهشی دانشگاه آزاد اسلامی واحد گرمی انجام شده است.

- منابع

- 1- Azizi, H., & Ganjeh Ajirlu, H. (2011). Measurement of the worst practice of decision-making units in the presence of non-discretionary factors and imprecise data. *Applied Mathematical Modelling*, 35(9), 4149–4156.
- 2- Banker, R. D., Charnes, A., & Cooper, W. W. (1984). Some models for estimating technical and scale inefficiency in data envelopment analysis. *Management Science*, 30, 1078–1092.
- 3- Charnes, A. & Cooper, W. W. (1962). Programming with fractional function. *Naval Research Logistics Quarterly*, 9, 181–185.
- 4- Charnes, A., Cooper, W. W., & Rhodes, E. (1978). Measuring the efficiency of decision making units. *European Journal of Operational Research*, 2, 429–444.
- 5- Dia, M. (2004). A model of fuzzy data envelopment analysis. *INFOR*, 42, 267–279.
- 6- Entani, T., Maeda, Y., & Tanaka, H. (2002). Dual models of interval DEA and its extension to interval data. *European Journal of Operational Research*, 136, 32–45.
- 7- Garcia, P. A. A., Schirru, R., & Melo, P. F. F. E. (2005). A fuzzy data envelopment analysis approach for FMEA. *Progress in Nuclear Energy*, 46, 359–373.
- 8- Guo, P., & Tanaka, H. (2001). Fuzzy DEA: A perceptual evaluation method. *Fuzzy Sets and Systems*, 119, 149–160.
- 9- Jahanshahloo, G. R., Soleimani-damaneh, M., & Nasrabadi, E. (2004). Measure of efficiency in DEA with fuzzy input–output levels: A methodology for assessing, ranking and imposing of weights restrictions. *Applied Mathematics and Computation*, 156, 175–187.
- 10- Kao, C., & Liu, S. T. (2000a). Fuzzy efficiency measures in data envelopment analysis. *Fuzzy Sets and Systems*, 113, 427–437.
- 11- Kao, C., & Liu, S. T. (2000b). Data envelopment analysis with missing data: An application to University libraries in Taiwan. *Journal of the Operational Research Society*, 51, 897–905.
- 12- Kao, C., & Liu, S. T. (2003). A mathematical programming approach to fuzzy efficiency ranking. *International Journal of Production Economics*, 86, 45–154.
- 13- Kao, C., & Liu, S. T. (2005). Data envelopment analysis with imprecise data: An application of Taiwan machinery .rms. *International Journal of Uncertainty, Fuzziness and Knowledge-Based Systems*, 13(2), 225–240.
- 14- León, T., Liern, V., Ruiz, J. L., & Sirvent, I. (2003). A fuzzy mathematical programming approach to the assessment of efficiency with DEA models. *Fuzzy Sets and Systems*, 139, 407–419.
- 15- Lertworasirikul, S., Fang, S. C., Joines, J. A., & Nuttle, H. L. W. (2003a). Fuzzy data envelopment analysis (DEA): A possibility approach. *Fuzzy Sets and Systems*, 139, 379–394.

- 16- Lertworasirikul, S., Fang, S. C., Joines, J. A., & Nuttle, H. L. W. (2003b). Fuzzy data envelopment analysis: A credibility approach. In J. L. Verdegay (Ed.), *Fuzzy sets based heuristics for optimization* (pp. 141–158). Berlin, Heidelberg: Springer- Verlag.
- 17- Lertworasirikul, S., Fang, S. C., Nuttle, H. L. W., & Joines, J. A. (2003). Fuzzy BCC model for data envelopment analysis. *Fuzzy Optimization and Decision Making*, 2(4), 337–358.
- 18- Liu, F. F. & Chen, C. L. (2009). The worst-practice DEA model with slack-based measurement. *Computers & Industrial Engineering*, 57, 496–505.
- 19- Liu, S. T. (2008). A fuzzy DEA/AR approach to the selection of flexible manufacturing systems. *Computers and Industrial Engineering*, 54(1), 66–76.
- 20- Liu, S. T., Chuang, M. (2009). Fuzzy efficiency measures in fuzzy DEA/AR with application to university libraries. *Expert Systems with Applications*, 36(2), 1105–1113.
- 21- Parkan, C., & Wang, Y. M. (2000). Worst Efficiency Analysis Based on Inefficient Production Frontier. Working Paper, Department of Management Sciences, City University of Hong Kong.
- 22- Saati, S., & Memariani, A. (2005). Reducing weight flexibility in fuzzy DEA. *Applied Mathematics and Computation*, 161, 611–622.
- 23- Saati, S., Menariani, A., & Jahanshahloo, G. R. (2002). Efficiency analysis and ranking of DMUs with fuzzy data. *Fuzzy Optimization and Decision Making*, 1, 255–267.
- 24- Sengupta, J. K. (1992). A fuzzy systems approach in data envelopment analysis. *Computers and Mathematics with Applications*, 24, 259–266.
- 25- Soleimani-damaneh, M., Jahanshahloo, G. R., & Abbasbandy, S. (2006). Computational and theoretical pitfalls in some current performance measurement techniques and a new approach. *Applied Mathematics and Computation*, 181(2), 1199–1207.
- 26- Triantis, K. (2003). Fuzzy non-radial data envelopment analysis (DEA) measures of technical efficiency in support of an integrated performance measurement system. *International Journal of Automotive Technology and Management*, 3, 328–353.
- 27- Triantis, K., & Girod, O. (1998). A mathematical programming approach for measuring technical efficiency in a fuzzy environment. *Journal of Productivity Analysis*, 10, 85–102.
- 28- Wang, Y. M., Greatbanks, R., & Yang, J. B. (2005). Interval efficiency assessment using data envelopment analysis. *Fuzzy Sets and Systems*, 153(3), 347–370.
- 29- Wang, Y. M., Luo, Y., & Liang, L. (2009). Fuzzy data envelopment analysis based upon fuzzy arithmetic with an application to performance assessment of manufacturing enterprises. *Expert Systems with Applications*, 36, 5205–5211.
- 30- Wu, D., Yang, Z., & Liang, L. (2006). Efficiency analysis of cross-region bank branches using fuzzy data envelopment analysis. *Applied Mathematics and Computation*, 181(1), 271–281.



پژوهشگاه علوم انسانی و مطالعات فرهنگی
پرستال جامع علوم انسانی